

(41) 岩における放射性核種溶波の分散に関する実験的研究

埼玉大学工学部 正会員 佐藤邦明
三菱金属(株) (研究室)○正会員 佐々木康夫

1. はじめに。

近年、産業廃棄物とりわけ原子力産業関係の廃棄物処理・処分に関する研究の中で、安全性評価の上から種々の核種の土壤、岩盤中における挙動の把握が極めて重要視されており、種々の研究が試みられており。核種挙動の把握手段の例として、分配係数や分散・拡散係数などが考えられており、それらにつれて、比較的容易なバッテ試験やカラム試験などが数多く行われておる。しかし、それらの研究のほとんどは土壤や砂、岩の粉碎物を対象にしており、岩そのものを対象にした研究は少い。一方、土壤や砂、岩の粉碎物を用いて行ったそれらの結果が、岩や岩盤を対象とする問題に、常に適用可能とも考えられないので、このような観点から今回、一・二の岩を用い、 ^{60}Co , ^{85}Sr , ^{137}Cs の混合溶液によつて分散実験を試みたので、その結果につれて報告する。

2. 実験装置と試料

実験は岩専用の耐圧製造水試験装置を用いたが、使用溶液が放射性核種を含むもので、かつ高圧力を作用させて浸透を起させるため、溶液の漏散や漏液が生じなりよう十分すぎる注意が必要であった。そのため、①に備え溶液タンクと試料のセットされるモールド部分はビニールフィルムを内張りしたステンレス製容器に収納し、ラフト内に納めた。図-1には実験装置の概略と試料部分の拡大したものを示した。図の番号に従い装置各部を説明すると、⑦は溶液および純水を加圧するための高圧ガス(窒素)がスポンベで、屋外におかれて銅製パイプにより溶液タンク、純水タンクに接続されている。②は溶液タンクで容量15ℓのステンレス製で、その耐圧強度は12kg/cm²、③は②と同じ寸法のもので、本実験の条件設定や漏液箇所の有無などをチェックするために行つて予備実験に使用される純水タンク、④は作用圧力を任意に調整できる圧力調整バルブである。⑤は試料がセットされるモールド、⑥は試料で直径55mm、高さ150mmの円柱形である。⑦は内径0.3mm、外径1mm、長さ25mmの浸透溶液採取パイプで、試料上端から0.025m～0.05m、0.05m～0.10mの2箇所に90°の角度で試料中心まで埋設されている。⑧は外周への漏液防止用に試料外周にコートされたエポキシ系樹脂でその厚さは12.5mm、⑨は試料上下面からの漏液を防止するため、モールドに試料セットを行う時に使用されるラバーパッキン、⑩は浸透流量計測用メスシリンダーである。写真-1にはその全景を示してあるが、モールド、試料、圧力調整バルブ、メスシリンダー、溶液タンクはステンレス製容器に収納されている。

実験に供された試料は2種類で茨城県産の猪田花崗岩、神奈川県産の新小松安山岩で、それらの物性値は表-1に示してある。両試料とも、そのままの状態では浸透が起りにくく、実験にかなりの長時間を要する事が考へられたので、浸透を容易にするため600℃に加熱した後、

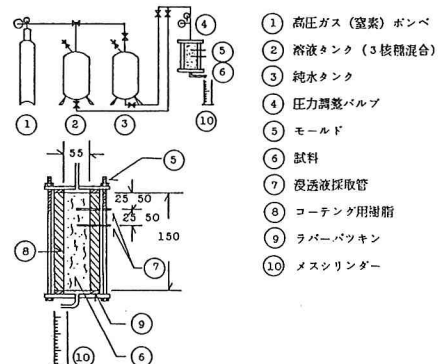


図-1 実験装置の概略と試料部分拡大

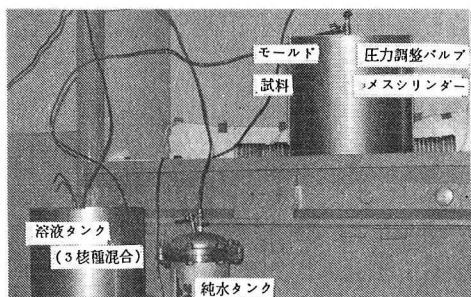


写真-1 実験装置全景

水中急冷により人工的に微小き裂を生じさせた(以下、本文中では人工風化と呼ぶ)。人工風化により空隙率は猪田花崗岩の場合人工風化前の約7.5倍、新小松安山岩の場合は約2.5倍に増加している。

3. 実験方法と使用核種

実験は試料上面から所定濃度の放射性核種の混合溶液を漫透させ、一定時間ごとに漫透溶液を採取し、濃度の経時変化から破壊曲線を作成して、夫々の核種について破壊曲線から分散・拡散係数、吸着能などの評価を試みようとするものである。使用する核種は、土壤や砂を用いたバッチ試験やカラム試験で多くの場合使用される ^{60}Co 、 ^{85}Sr 、 ^{137}Cs の3種とし、その混合したものである。これらの核種はいずれも塩化物の形であるが、多量の純水により希釈されるので使用した溶液はほぼ中性である。実験では核種間の反応や相互干渉、減衰による濃度低下により分散・拡散に影響は生じないものと考えた。

表-1 試料の物性と実験状況

溶液の濃度は後に述べるようにサンプリング量が少いことと

^{85}Sr の半減期が64日と短いことから、 ^{60}Co と ^{137}Cs は $1 \times$

$10^{-2} \mu\text{Ci}/\text{ml}$ 、 ^{85}Sr は $2 \times 10^{-2} \mu\text{Ci}/\text{ml}$ とした。このような

溶液を用い、以下に述べる手順で実験を行った。実験は予備

実験と本実験からなり、予備実験は本実験における作用圧力

やサンプリング間隔の決定、漏液箇所チェックなどのため

に行われるものである。まず、所定の形状に作成した試料の上下両端にラバーペッキンを付けたモールド内にセットし、モールド上部のナットを漏液が生じないように十分締付ける。次に、高圧室素ガスボンベ、純水タンクラインのバルブを開き試料上面に存在する空気を排除しながら純水を送り込む。この状態で ~ 96 時間程度実験を継続し、その間、漫透流量をチェックしながら圧力調整バルブ操作により本実験の作用圧力を決定する。それと同時に漫透溶液採取管の作動状況や漏液箇所の有無のチェックを行う。本実験は予備実験ラインのバルブを開め、高圧室素ガスボンベ、溶液タンクラインのバルブを開き試料上面の純水を排出せながら溶液を試料上面に送り込み、圧力調整バルブで所定の作用圧力にする。それと同時に漫透流量の測定を開始する。漫透溶液採取間隔は漫透流量により異なるが、猪田花崗岩の場合 $0.5 \sim 24$ 時間、新小松安山岩の場合 $8 \sim 96$ 時間であった。

1回に採取する溶液体量は試料中の溶液の流れを極力乱さないように $\sim 0.08 \sim 0.12\text{g}$ 程度とし、その量は最小目盛 0.1mg の秤量器による重量法で求めた。このようにして採取した溶液の核種濃度の測定は図-1に示す装置を用いて行った。図-1において、①は測定試料、②はゲルマニウム半導体検出器、③はゲルマニウム半導体検出器にかける高圧電源装置とアンプ、④は波高分析装置、⑤はプリンター、⑥は鉛製プロックである。これらの装置により1回の測定にかけ、3核種の濃度が簡易にプリントアウトされる。採取溶液の測定は先立ち、標準溶液(溶液タンクに入っている溶液と同じもので、採取溶液体量とはほぼ同じ量)とバッファランド(純水)の測定を行った。このため、時間経過により溶液中の核種が減衰し濃度低下が生じても濃度比%における相対的な値は変わらず、時間経過による減衰を持て考慮する必要はない。このようにして採取溶液の濃度を求める濃度比%を算出し破壊曲線を形成した。

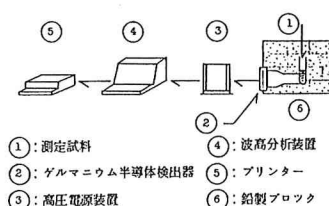


図-2 測定装置略図



4. 実験結果

測定は試料中に浸透流を強制的に起し浸透液採取管から溶液を採取して、濃度比 $\%/\%$ を求め破過曲線を作成している。結果の図-3, 4が示すように本試料の破過曲線は既知に達していないので実験を継続している。ここで1は現在まで判明した事柄を述べる。

図-3は稻田花崗岩の229時間目までの破過曲線を示したもので、破壊曲線は濃度比 $\%/\%$ と浸透流量の経時変化、横軸は測定時間(時)である。実験条件は作用水圧が $0.0249/cm^2$ 、時間平均浸透流速(浸透流量/試料断面積・測定時間・空隙率)は $6.32 \times 10^{-5} m/s$ 、平均透水係数は $2.54 \times 10^{-7} m/s$ であり、浸透液採取管の位置は試料上端から $0.05m$, $0.10m$ の2箇所である。まず、上端から $0.05m$ の場合を見ると検出された来る核種の順序は ^{85}Sr , ^{60}Co , ^{137}Cs となりそれが実験開始後1時間、3時間、60時間程で ^{85}Sr と ^{60}Co は比較的間隔をおかなく検出されはじめめるが、 ^{137}Cs はかなり遅れてである。同じ様に試料上端から $0.10m$ の場合は ^{85}Sr が3時間、 ^{60}Co が105時間程で検出されはじめるのでに対して、 ^{137}Cs は229時間現在で検出されていない。次に、各破過曲線の状態を見ると滑らかに濃度比は増加せず、増減を繰返しながら階段状に増加している。特に $0.05m$ の場合が濃度比の変化は著しく傾向にあり黒く塗りつぶした $0.10m$ の場合はほとんどではない。このような挙動を示す要因として、浸透流速の変化、溶液と岩の化学反応による相の変化、試料温度の変化による吸着度合の変化などが考えられるが、浸透流速の変化に主として起因してみると推察される。この浸透流速の変化を示す浸透流量の24時間ごとににおける値の変化を実験で示してあるが、時間の経過とともに減少しており、10日目には初日の1/4程度になつてである。このような変化がなぜ生じたのかは明らかではないが、人工風化のために加熱急冷した際に岩の内部で岩が微粉化しそれが浸透溶液に流れ、浸透流路と閉塞するための現象が起つた可能性は考えられる。核種により検出されはじめる時間に差が見られる事と破過曲線の勾配に差が見られる事は試料(岩を構成する鉱物)の吸着能力を表現しているとも考えられるので、稻田花崗岩は ^{137}Cs を最も良く吸着し、 ^{60}Co , ^{85}Sr の順に吸着能力が小さくなつてゐると見える。

図-4は新小松安山岩の場合で実験開始から66日目までの破過曲線と浸透流量の経時変化を示したもので、実験条件は作用水圧が $3.6 KPa/cm^2$ 、時間平均浸透流速は $4.24 \times 10^{-6} m/s$ 、平均透水係数は $2.64 \times 10^{-9} m/s$ である。新小松安山岩の場合の浸透液採取管の位置は試料上端から $0.025m$, $0.05m$ の2箇所である。核種が検出されているのは上端から $0.025m$ の位置のみで、 ^{60}Co は27.8日目から、 ^{85}Sr は33.4日目からで ^{137}Cs は検出されていない。破過曲線の形状は稻田花崗岩の場合と同様に、滑らかではなく階段状に増加している。一方、浸透流量の変化

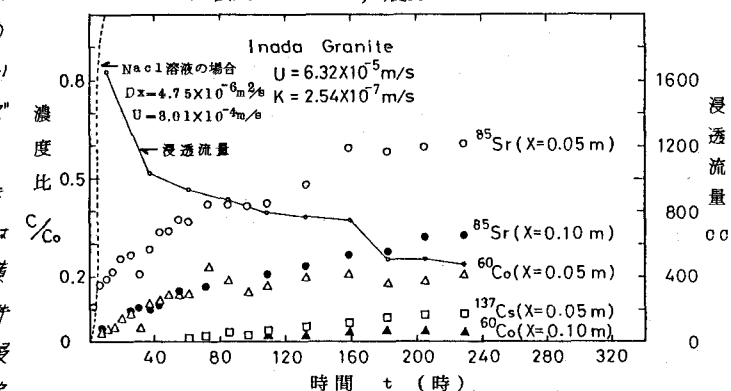


図-3 稲田花崗岩の実験結果

(実験時間229時間までの結果を示す)

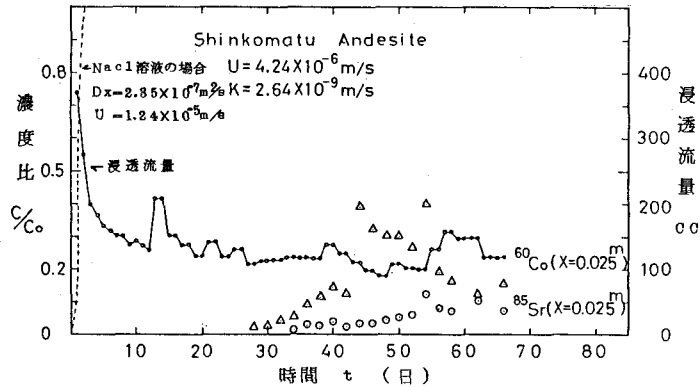


図-4 新小松安山岩の実験結果

(実験時間66日までの結果を示す)

は滑らかに濃度比は増加せず、増減を繰返しながら階段状に増加している。特に $0.05m$ の場合が濃度比の変化は著しく傾向にあり黒く塗りつぶした $0.10m$ の場合はほとんどではない。このような挙動を示す要因として、浸透流速の変化、溶液と岩の化学反応による相の変化、試料温度の変化による吸着度合の変化などが考えられるが、浸透流速の変化に主として起因してみると推察される。この浸透流速の変化を示す浸透流量の24時間ごとににおける値の変化を実験で示してあるが、時間の経過とともに減少しており、10日目には初日の1/4程度になつてである。このような変化がなぜ生じたのかは明らかではないが、人工風化のために加熱急冷した際に岩の内部で岩が微粉化しそれが浸透溶液に流れ、浸透流路と閉塞するための現象が起つた可能性は考えられる。核種により検出されはじめる時間に差が見られる事と破過曲線の勾配に差が見られる事は試料(岩を構成する鉱物)の吸着能力を表現しているとも考えられるので、稻田花崗岩は ^{137}Cs を最も良く吸着し、 ^{60}Co , ^{85}Sr の順に吸着能力が小さくなつてゐると見える。

図-4は新小松安山岩の場合で実験開始から66日目までの破過曲線と浸透流量の経時変化を示したもので、実験条件は作用水圧が $3.6 KPa/cm^2$ 、時間平均浸透流速は $4.24 \times 10^{-6} m/s$ 、平均透水係数は $2.64 \times 10^{-9} m/s$ である。新小松安山岩の場合の浸透液採取管の位置は試料上端から $0.025m$, $0.05m$ の2箇所である。核種が検出されているのは上端から $0.025m$ の位置のみで、 ^{60}Co は27.8日目から、 ^{85}Sr は33.4日目からで ^{137}Cs は検出されていない。破過曲線の形状は稻田花崗岩の場合と同様に、滑らかではなく階段状に増加している。一方、浸透流量の変化

を猪田花崗岩と同様に実験開始直後は浸透流量が大きく、以後急に少くなり、全体的にわずかづつ減りながら推移し、66日目では開始直後の1/3以下になつてゐる。折々で浸透流量が増加してゐるのは実験施設に暖房が入った時である。破壊曲線の勾配や検出されはじめる日時を見ると試料中に核種がどんどん吸着されてゐることがわかる。猪田花崗岩と新小松安山岩を対比すると、新小松安山岩の56日目と猪田花崗岩の66日時間目とはほぼ浸透流量の総量は同じであるが、試料上端から0.05m, 0.10mの位置にある猪田花崗岩の方が0.025m, 0.05mの位置に浸透液採取管のある新小松安山岩より検出されはじめる核種数とその濃度比は大きい。浸透流速や空隙率などが両者で異なり単純に比較できないが、新小松安山岩の方は猪田花崗岩より、吸着しやすい傾向にある事は言える。又2つの試料のX線回折試験によれば、猪田花崗岩には石英やカリ長石、斜長石、雲母の他に角閃石や綠泥石が認められ、新小松安山岩には石英や斜長石、雲母の他に黄鉄鉱や鱗珪石が認められ、両者に含まれる鉱物の種類と量比の違いが、吸着現象に影響をおよぼしてゐると推定される。また、両試料において検出されはじめる核種の順序を見ると、猪田花崗岩においては ^{85}Sr , ^{60}Co , ^{137}Cs の順で ^{85}Sr と ^{60}Co の時間差は小さく、新小松安山岩では猪田花崗岩の逆で、 ^{60}Co , ^{85}Sr の順になつてゐる。これは、岩を構成する鉱物の違いや量比の差で、一様に吸着されるのではなく、ある鉱物にはある核種が吸着されやすいと見て、鉱物と核種の組合せが存在することをうかがわせる。なお、図-3, 4には著者らが同じ岩石によつて塩水の移流拡散実験で得た分散係数、 $4.75 \times 10^{-6} \text{ m}^2/\text{s}$ (猪田花崗岩), $2.35 \times 10^{-7} \text{ m}^2/\text{s}$ (新小松安山岩)を用い、今回実験の初期浸透流速から求めた理論破壊曲線を点線で示した。¹⁾これらの曲線から吸着効果が放射性核種の場合にいかに大きいかを知ることができる。

5.まとめ

今回、猪田花崗岩と新小松安山岩の人工風化を施した試料を用い、 ^{60}Co , ^{85}Sr , ^{137}Cs の3放射性核種の混合溶液による分散の測定を試み、その状況を報告したが、それらは次のようにな約される。

- 1) 放射性核種の岩への吸着は猪田花崗岩、新小松安山岩とも大きいが特に新小松安山岩において顕著であり、参考に示した食塩の溶液の実験結果と対比すると、いつそう明らかである。
 - 2) 猪田花崗岩と新小松安山岩において検出されはじめる核種が前者では ^{85}Sr 、後者では ^{60}Co とそれそれ異なり、吸着されやすい核種と鉱物の組合せが存在することをうかがわせた。
 - 3) 実験をより迅速に行うためには、浸透液採取管の位置を可能な限り試料上端から近い所に設ける必要があることが判明した。
- 以上、述べたような状況であるが、可能な限り実験を燃焼し分散係数を算出した。今後は人工風化を施さない試料や他の岩種での実験も試みて行きたい。

参考文献

- 1) 佐藤 邦明、佐々木康夫；岩石内浸透流における溶質分散係数の決定：応用地質、25巻、3号、1984.

(41) Experimental Study on dispersion of radioactive
isotopes solutes water in rocks

by Kuniaki Sato.,

Yasuo Sasaki

Faculty of Engineering,
Saitama University

Mitsubishi Metal
Corporation.

Abstract

When we deal with the dispersion problem of dissolved pollutant in rocks, the determination of dispersion coefficient becomes important as well as the evaluation of hydraulic parameters such as the permeability and storage coefficient.

This paper presents how to measure the dispersion of radioactive isotopes solutes: ^{60}Co , ^{85}Sr , ^{137}Cs , in addition to clarify the dispersion mechanism of radio-active solute in rock seepage flow.

An inherent apparatus is newly proposed to study the dispersion and adsorption phenomena in rock seepage flow, and the utility of the apparatus proposed in this paper is confirmed. Some different properties of radio-active solute dispersion are revealed as compared with those of salt water dispersion in rocks.